

4. Преобразование Лорана (Z-преобразование)

4.1. Ряд Лорана. Прямое и обратное Z-преобразование

Ряд Лорана является универсальным представлением однозначных аналитических функций комплексной переменной. Рассматривая некоторую однозначную аналитическую функцию $S(z)$, запишем:

$$\begin{aligned}
 S(z) &= \sum_{n=-\infty}^{+\infty} C_n (z - z_0)^n = \sum_{n=0}^{+\infty} C_n (z - z_0)^n + \sum_{n=-\infty}^{-1} C_n (z - z_0)^n = \\
 &= \underbrace{\sum_{n=0}^{+\infty} C_n (z - z_0)^n}_{\text{регулярная (правильная) часть}} + \underbrace{\sum_{n=1}^{+\infty} C_{(-n)} (z - z_0)^{-n}}_{\text{сингулярная (главная) часть}}, \quad (4.1)
 \end{aligned}$$

где z_0 - некоторая точка комплексной плоскости. При записи ряда Лорана принято выделять регулярную и сингулярную части, как показано при записи (4.1). Областью сходимости регулярной части ряда Лорана является круг, радиус которого обозначим R_{cx} , с центром в точке z_0 . Сингулярная часть ряда Лорана сходится вне круга, радиус которого обозначим r_{cx} , с центром в точке z_0 . Областью сходимости ряда Лорана является область, в которой сходятся и регулярная и сингулярная части, и при $r_{cx} < R_{cx}$ представляет собой кольцо $r_{cx} < |z - z_0| < R_{cx}$ (см. рис.4.1).

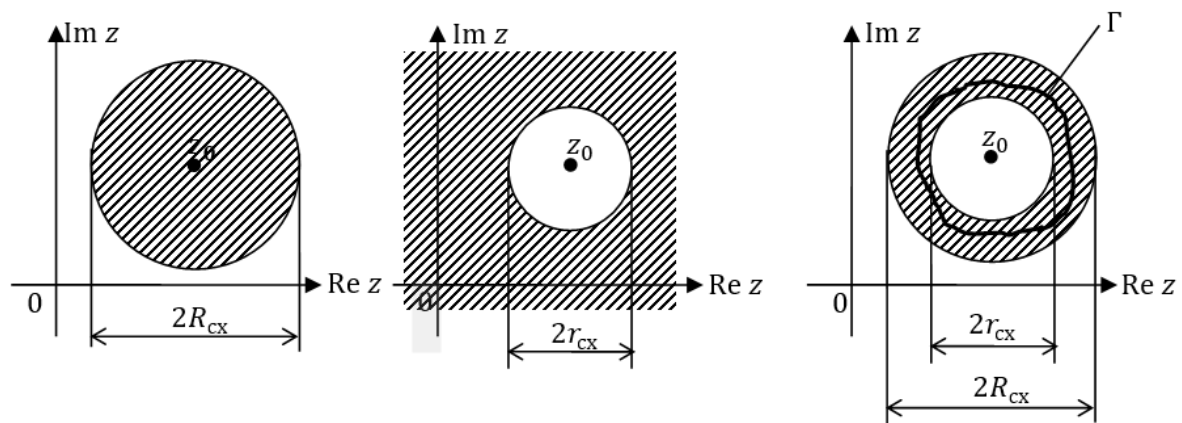


Рис.4.1. Области сходимости для регулярной части, сингулярной части и ряда Лорана

Коэффициенты ряда Лорана определяются по формуле:

$$C_n = \frac{1}{2\pi j} \oint_{\Gamma} \frac{S(z)}{(z - z_0)^{n+1}} dz, \quad (4.2)$$

где Γ - замкнутый контур, лежащий в области сходимости и охватывающий точку z_0 , также показан на рис.4.1.

Рассмотрим частный случай, когда последовательность коэффициентов ряда Лорана такова, что $C_{n>0} = 0$, и $z_0 = 0$, и перепишем (4.1) в виде:

$$S(z) = C_0 + \sum_{n=1}^{+\infty} C_{(-n)} z^{-n} = \sum_{n=0}^{+\infty} C_{(-n)} z^{-n} = \sum_{n=0}^{+\infty} s[n] z^{-n},$$

где из (4.2) $s[n] = C_{(-n)} = \frac{1}{2\pi j} \oint_{\Gamma} S(z) z^{n-1} dz.$

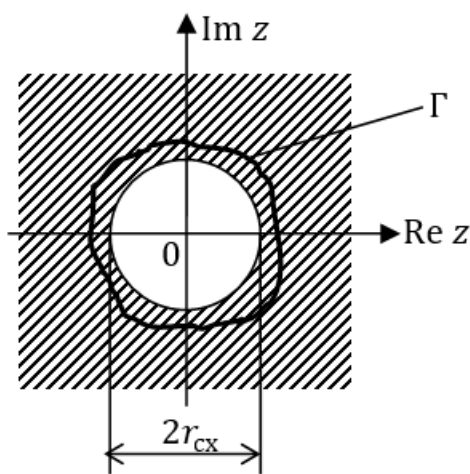


Рис.4.2. Область сходимости

В рассматриваемом частном случае область сходимости определяется сингулярной частью ряда Лорана и представляет собой всю комплексную плоскость за исключением круга радиуса r_{cx} с центром в точке 0, как показано на рис.4.2. Контур Γ лежит в области сходимости и охватывает точку 0.

Выпишем отдельно полученные результаты:

$$S(z) = \sum_{n=0}^{+\infty} s[n] z^{-n}; \tag{4.3a}$$

$$s[n] = \frac{1}{2\pi j} \oint_{\Gamma} S(z) z^{n-1} dz, \quad n \geq 0. \tag{4.3b}$$

Выражения (4.3) показывают, что числовой последовательности $\{s[n]\}_{n=-\infty}^{+\infty}$, такой что $s[n < 0] = 0$, может быть поставлена в соответствие аналитическая функция $S(z)$, причём, в виду единственности разложения в ряд Лорана, это соответствие взаимнооднозначно.

Преобразование дискретного сигнала вида (4.3а) называется (прямым) преобразованием Лорана (или Z – преобразованием). Функция $S(z)$ называется изображением (Z – изображением)

дискретного сигнала $\{s[n]\}_{n=-\infty}^{+\infty}$.

Преобразование (4.3б) называется обратным преобразованием Лорана (обратным Z – преобразованием).

Изображение дискретного сигнала будем обозначать той же, но заглавной, буквой, что и сигнал. Соответствие сигнала и его изображения кратко будем обозначать записью $s[n] \leftrightarrow S(z)$, прямое Z – преобразование, как $S(z) = Z\{s[n]\}$, обратное Z – преобразование, как $s[n] = Z^{-1}\{S(z)\}$.

Z -преобразование в теории дискретных сигналов и линейных дискретных систем играет такую же роль как и преобразование Лапласа в теории аналоговых систем: преобразования позволяют сводить уравнения анализа систем к алгебраической форме. Покажем, что Z – преобразование связано с преобразованием Лапласа дискретного сигнала. Рассмотрим дискретный сигнал

$s_d(t) = \sum_{n=0}^{+\infty} s(nT)\delta(t - nT)$ и применим к нему преобразование

Лапласа $L\{\cdot\}$. С учётом свойств линейности и запаздывания, вспоминая, что $L\{\delta(t)\} = 1$, получим:

$$\begin{aligned} \bar{S}_d(p) &= L\left\{\sum_{n=0}^{+\infty} s(nT)\delta(t - nT)\right\} = \sum_{n=0}^{+\infty} s(nT)L\{\delta(t - nT)\} = \\ &= \sum_{n=0}^{+\infty} s(nT)e^{-pnT}. \end{aligned} \quad (4.4)$$

Преобразование (4.4) называется дискретным преобразованием Лапласа.

Сравнивая (4.3) и (4.4), убедимся, что Z – преобразование переходит в дискретное преобразование Лапласа при замене $z = e^{pT}$:

$$\bar{S}_d(p) = S(z)\Big|_{z=e^{pT}}. \quad (4.5)$$

4.2. Основные свойства Z – преобразования

4.2.1. Свойство линейности

Пусть сигнал $s_1[n]$ имеет изображение $S_1(z)$, сигнал $s_2[n]$ имеет изображение $S_2(z)$ и $k_1, k_2 \in \mathbb{C}$ - постоянные, тогда изобра-

жение линейной комбинации этих сигналов является такой же линейной комбинацией их изображений:

$$Z\{k_1s_1[n] + k_2s_2[n]\} = k_1Z\{s_1[n]\} + k_2Z\{s_2[n]\}. \quad (4.6)$$

Покажем это:

$$\begin{aligned} Z\{k_1s_1[n] + k_2s_2[n]\} &= \sum_{n=0}^{+\infty} (k_1s_1[n] + k_2s_2[n])z^{-n} = \\ &= k_1 \sum_{n=0}^{+\infty} s_1[n]z^{-n} + k_2 \sum_{n=0}^{+\infty} s_2[n]z^{-n} = k_1L\{s_1[n]\} + k_2L\{s_2[n]\}. \end{aligned}$$

Разумеется, преобразования с рядами, выполняемые здесь и далее, имеют смысл только в области сходимости преобразования Лорана.

4.2.2. Запаздывание сигнала

Пусть сигнал $s[n]$ имеет изображение $S(z)$ и целое число $m \geq 0$, тогда сигнал $s[n-m]$ имеет изображение $S(z)z^{-m}$:

$$Z\{s[n-m]\} = Z\{s[n]\}z^{-m}. \quad (4.7)$$

Действительно, рассмотрим

$$Z\{s[n-m]\} = \sum_{n=0}^{+\infty} s[n-m]z^{-n},$$

введём индекс суммирования $k = n - m$, тогда n выразим как $n = k + m$ и последнее выражение продолжим в виде:

$$Z\{s[n-m]\} = \sum_{k=-m}^{+\infty} s[k]z^{-k}z^{-m}.$$

Учитывая, что $s[k < 0] = 0$, запишем

$$Z\{s[n-m]\} = \sum_{k=0}^{+\infty} s[k]z^{-k}z^{-m} = Z\{s[k]\}z^{-m}.$$

4.2.3. Теорема о свёртке

Свёртка $s[n] = s_1 * s_2[n]$ двух дискретных сигналов $s_1[n]$ и $s_2[n]$ определяется по правилу:

$$s[n] = \sum_{n'=0}^{+\infty} s_1[n']s_2[n-n'] = \sum_{n'=0}^{+\infty} s_1[n-n']s_2[n']. \quad (4.8)$$

Изображением свёртки является произведение изображений каж-

ДОГО ИЗ СИГНАЛОВ:

$$Z \{s_1 * s_2[n]\} = Z \{s_1[n]\} Z \{s_2[n]\}. \quad (4.9)$$

Для доказательства рассмотрим Z – преобразование свёртки сигналов, учтём свойства линейности и запаздывания:

$$\begin{aligned} Z \{s_1 * s_2[n]\} &= Z \left\{ \sum_{n'=0}^{+\infty} s_1[n']s_2[n-n'] \right\} = \sum_{n'=0}^{+\infty} s_1[n']Z \{s_2[n-n']\} = \\ &= \sum_{n'=0}^{+\infty} s_1[n']z^{-n'} Z \{s_2[n]\} = Z \{s_1[n']\} Z \{s_2[n]\}. \end{aligned}$$

4.2.4. Умножение сигнала на показательную последовательность

Если сигнал $s[n]$ имеет изображение $S(z)$, то сигнал $s[n]a^n$ имеет изображение $S(a^{-1}z)$:

$$s[n]a^n \leftrightarrow S(a^{-1}z). \quad (4.10)$$

Действительно:

$$Z \{s[n]a^n\} = \sum_{n=0}^{+\infty} s[n]a^n z^{-n} = \sum_{n=0}^{+\infty} s[n](a^{-1}z)^{-n} = S(a^{-1}z).$$

4.2.5. Умножение сигнала на косинус

При умножении сигнала на косинус его изображение преобразуется по следующему правилу:

$$s[n]\cos(\omega_0 nT + \varphi_0) \leftrightarrow \frac{1}{2} e^{j\varphi_0} S(ze^{-j\omega_0 T}) + \frac{1}{2} e^{-j\varphi_0} S(ze^{j\omega_0 T}). \quad (4.11)$$

Формулу (4.11) нетрудно получить, воспользовавшись формулой Эйлера для косинуса и свойствами (4.6), (4.10):

$$\begin{aligned} Z \{s[n]\cos(\omega_0 nT + \varphi_0)\} &= Z \left\{ s[n] \frac{e^{j\omega_0 nT} e^{j\varphi_0} + e^{-j\omega_0 nT} e^{-j\varphi_0}}{2} \right\} = \\ &= \frac{e^{j\varphi_0}}{2} Z \{s[n]e^{j\omega_0 nT}\} + \frac{e^{-j\varphi_0}}{2} Z \{s[n]e^{-j\omega_0 nT}\} = \\ &= \frac{1}{2} e^{j\varphi_0} S(ze^{-j\omega_0 T}) + \frac{1}{2} e^{-j\varphi_0} S(ze^{j\omega_0 T}). \end{aligned}$$

4.2.6. Дифференцирование изображения

Умножение сигнала $s[n]$ на n связано с дифференцированием изображения:

$$Z\{ns[n]\} = -z \frac{d}{dz} Z\{s[n]\}. \quad (4.12)$$

Для доказательства сделаем следующие преобразования:

$$\begin{aligned} Z\{ns[n]\} &= \sum_{n=0}^{+\infty} ns[n]z^{-n} = -z \sum_{n=0}^{+\infty} (-n)s[n]z^{-n-1} = -z \sum_{n=0}^{+\infty} s[n] \frac{dz^{-n}}{dz} = \\ &= -z \frac{d}{dz} \sum_{n=0}^{+\infty} s[n]z^{-n} = -z \frac{d}{dz} Z\{s[n]\}. \end{aligned}$$

4.3. Обратное Z - преобразование

При обращении Z – преобразования, когда изображение представлено в виде дроби, числитель и знаменатель которой представляют собой многочлены относительно z^{-1} , используют представление этой дроби в виде суммы дробей со знаменателями первой и второй степени. Обращение осуществляют отдельно для каждого из слагаемых с учётом свойств Z - преобразования, а также таблиц известных пар по Лорану. Связанные с указанным подходом некоторые математические приёмы будут рассмотрены в дальнейшем на конкретных примерах.

Также обратное Z – преобразование можно выполнять с учётом теоремы о вычетах:

$$s[n] = \frac{1}{2\pi j} \oint_{\Gamma} S(z)z^{n-1} dz = \sum_k \operatorname{res}_{z_k} [S(z)z^{n-1}]. \quad (4.13)$$

Так как контур Γ находится в области сходимости $S(z)$ и охватывает точку 0 (см. рис.4.2), то он охватывает все полюсы подынтегрального выражения z_k .

4.4. Примеры Z-преобразований

4.4.1. Геометрическая прогрессия

Этот раздел является вспомогательным: материал, который мы здесь приводим нам потребуется для рассмотрения примеров Z-преобразований.

Последовательность чисел вида

$$x_0, x_0q, x_0q^2, \dots$$

называется геометрической прогрессией, x_0 - начальным членом прогрессии, q - знаменателем прогрессии.

Частичная сумма геометрической прогрессии определяется как

$$\sigma_N = \underbrace{x_0 + x_0q + x_0q^2 + \dots + x_0q^{N-1}}_{N \text{ слагаемых}} = x_0 \sum_{n=0}^{N-1} q^n. \quad (4.14)$$

Для частичной суммы геометрической прогрессии можно получить компактное выражение, рассматривая разность $\sigma_N - q\sigma_N = x_0 + x_0q + x_0q^2 + \dots + x_0q^{N-1} - x_0q - x_0q^2 - \dots - x_0q^N = x_0 - x_0q^N$,

откуда

$$\sigma_N = \begin{cases} x_0 \frac{1-q^N}{1-q}, & q \neq 1 \\ x_0 N, & q = 1 \end{cases}. \quad (4.15)$$

Полной суммой членов геометрической прогрессии называется

$$\sigma_\infty = \lim_{N \rightarrow \infty} \sigma_N = \begin{cases} x_0 \frac{1}{1-q}, & |q| < 1 \\ \infty, & |q| \geq 1 \end{cases}. \quad (4.16)$$

Полная сумма членов геометрической прогрессии существует, когда модуль знаменателя прогрессии меньше единицы.

4.4.2. Усечённая показательная последовательность

Усечённая показательная последовательность описывается выражением:

$$s[n] = \begin{cases} a^n, & n = 0, \dots, N-1 \\ 0, & n < 0, n > N-1 \end{cases}. \quad (4.17)$$

Временные диаграммы, соответствующие записанному выражению в зависимости от значения a разнообразны. Примеры временных диаграмм показаны на рис.4.3.

Заметим, что в частном случае $a = 1$ показательная последовательность описывает дискретный прямоугольный импульс из N ненулевых отсчётов. В другом частном случае, когда $a = e^{-\alpha T}$

мы имеем усечённый дискретный экспоненциальный импульс.

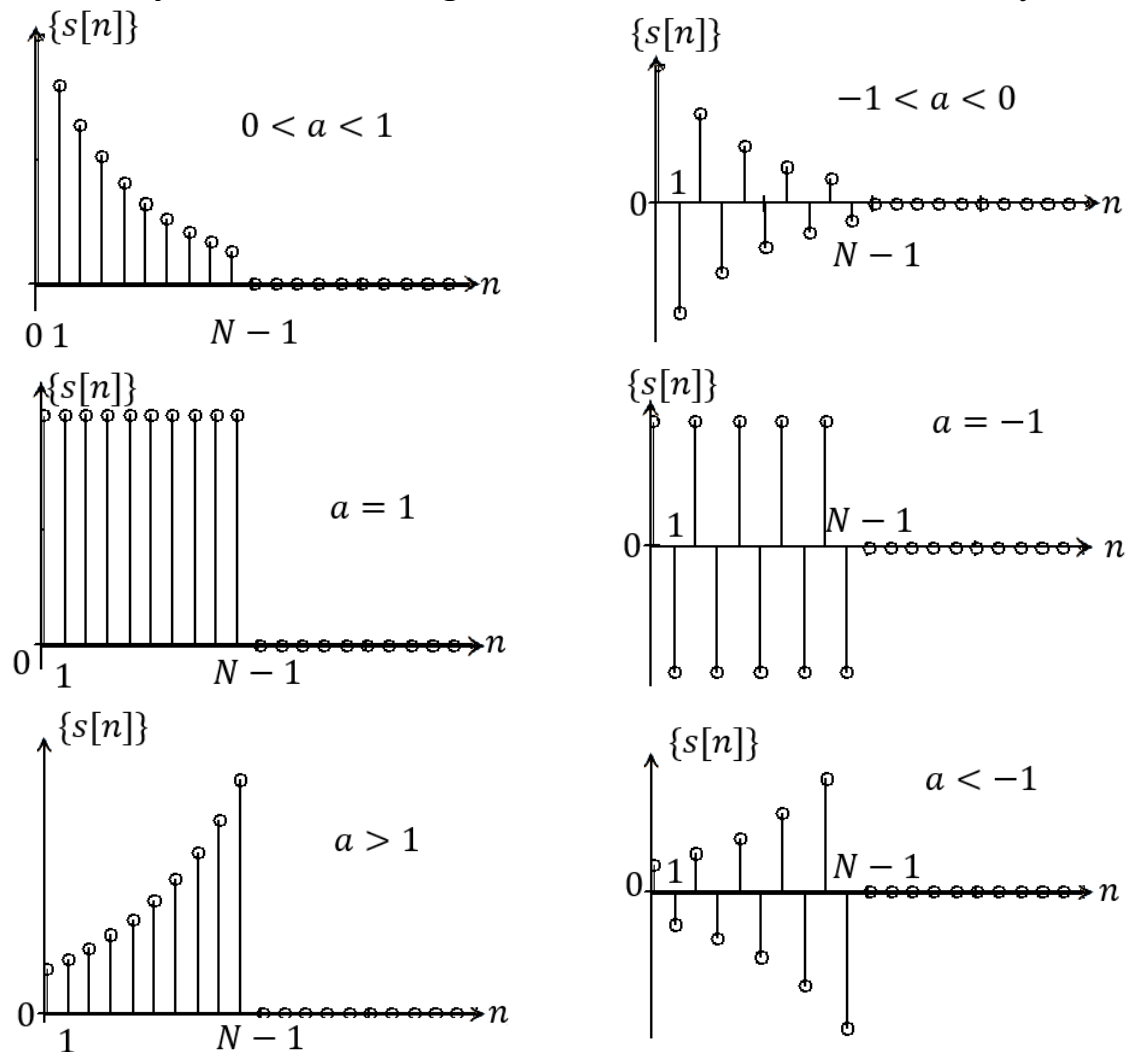


Рис.4.3. Временные диаграммы усечённых степенных последовательностей

Найдём Z-преобразование показательной последовательности:

$$\begin{aligned}
 S(z) &= \sum_{n=0}^{N-1} a^n z^{-n} = \sum_{n=0}^{N-1} (az^{-1})^n = \\
 &= \underbrace{1 + az^{-1} + (az^{-1})^2 + \dots + (az^{-1})^{N-1}}_{\substack{\text{частичная сумма геометрической} \\ \text{прогрессии } x_0=1, q=az^{-1}}} = \frac{1 - a^N z^{-N}}{1 - az^{-1}}. \quad (4.18)
 \end{aligned}$$

Для дискретного прямоугольного импульса

$$S(z) = \frac{1 - z^{-N}}{1 - z^{-1}}. \quad (4.19)$$

Для дискретного усечённого экспоненциального импульса

$$S(z) = \frac{1 - e^{-\alpha NT} z^{-N}}{1 - e^{-\alpha T} z^{-1}}. \quad (4.20)$$

В случае $N=1$ и $a=1$ показательная последовательность описывает единичный отсчёт

$$\delta[n] = \begin{cases} 1, & n = 0 \\ 0, & n \neq 0 \end{cases}. \quad (4.21)$$

Изображение единичного отсчёта

$$\Delta(z) = 1. \quad (4.22)$$

Радиус сходимости $r_{\text{сх}} = 0$ и изображение в рассмотренных случаях существует на всей комплексной плоскости.

4.4.3. Показательная последовательность

Показательная последовательность описывается выражением

$$s[n] = \sigma[n]a^n, \quad (4.23)$$

где $\sigma[n]$ - дискретный единичный скачок (дискретная функция Хевисайда):

$$\sigma[n] = \begin{cases} 1, & n \geq 0 \\ 0, & n < 0 \end{cases}. \quad (4.24)$$

Временные диаграммы сигналов, описываемых (4.23) аналогичны диаграммам на рис.4.3, с той разницей, что показательная последовательность нигде не обрывается и может рассматриваться, как предельный вариант усечённой последовательности при $N \rightarrow \infty$.

В частном случае $a=1$ показательная последовательность описывает единичный скачок. В другом частном случае $a = e^{-\alpha T}$ имеем дискретный экспоненциальный импульс $s[n] = \sigma[n]e^{-\alpha nT}$.

Z-преобразование показательной последовательности найдём из (4.18) при $N \rightarrow \infty$:

$$S(z) = \lim_{N \rightarrow \infty} \frac{1 - a^N z^{-N}}{1 - az^{-1}} = \begin{cases} \frac{1}{1 - az^{-1}}, & |az^{-1}| < 1 \\ \infty, & |az^{-1}| \geq 1 \end{cases}. \quad (4.25)$$

Область сходимости $|az^{-1}| < 1$ или $|z| > |a|$, откуда $r_{\text{сх}} = |a|$.

Для дискретного единичного скачка $\sigma[n]$

$$\Sigma(z) = \frac{1}{1 - z^{-1}}; r_{\text{сх}} = 1. \quad (4.26)$$

Для дискретного экспоненциального импульса

$$S(z) = \frac{1}{1 - e^{-\alpha T} z^{-1}}; r_{\text{сх}} = e^{-\alpha T}. \quad (4.27)$$

4.4.4. Дискретный квазигармонический сигнал

Дискретный квазигармонический сигнал описывается выражением

$$u[n] = \sigma[n]a^n \cos(\omega_0 nT + \varphi_0). \quad (4.28)$$

Обозначив $s[n] = \sigma[n]a^n$, $S(z) = \frac{1}{1 - az^{-1}}$ изображение (4.28)

найдем с учётом свойства (4.11):

$$\begin{aligned} U(z) &= \frac{1}{2} e^{j\varphi_0} S(ze^{-j\omega_0 T}) + \frac{1}{2} e^{-j\varphi_0} S(ze^{j\omega_0 T}) = \\ &= \frac{1}{2} \frac{e^{j\varphi_0}}{1 - ae^{j\omega_0 T} z^{-1}} + \frac{1}{2} \frac{e^{-j\varphi_0}}{1 - ae^{-j\omega_0 T} z^{-1}} = \\ &= \frac{\cos \varphi_0 - a \cos(\omega_0 T - \varphi_0) z^{-1}}{1 - 2a \cos(\omega_0 T) z^{-1} + a^2 z^{-2}} \end{aligned} \quad (4.29)$$

Рассмотрим частные случаи (4.28) и (4.29):

1. $a = 1; \varphi_0 = 0$

$$\sigma[n] \cos(\omega_0 nT) \leftrightarrow \frac{1 - \cos(\omega_0 T) z^{-1}}{1 - 2 \cos(\omega_0 T) z^{-1} + z^{-2}}. \quad (4.30)$$

2. $a = 1; \varphi_0 = -\frac{\pi}{2}$

$$\sigma[n] \sin(\omega_0 nT) \leftrightarrow \frac{\sin(\omega_0 T) z^{-1}}{1 - 2 \cos(\omega_0 T) z^{-1} + z^{-2}}. \quad (4.31)$$

3. $a = e^{-\alpha T}$

$$\sigma[n] e^{-\alpha nT} \cos(\omega_0 nT + \varphi_0) \leftrightarrow \quad (4.32)$$

$$\leftrightarrow \frac{\cos \varphi_0 - e^{-\alpha T} \cos(\omega_0 T - \varphi_0) z^{-1}}{1 - 2e^{-\alpha T} \cos(\omega_0 T) z^{-1} + e^{-2\alpha T} z^{-2}}.$$

4.4.5. Дискретный линейно-нарастающий сигнал

Дискретный линейно-нарастающий сигнал описывается выражением

$$s[n] = n\sigma[n]. \quad (4.33)$$

Изображение сигнала найдём с учётом свойства Z – преобразования (4.12) и предыдущего результата (4.26)

$$S(z) = Z\{n\sigma[n]\} = -z \frac{d}{dz} Z\{\Sigma[n]\} = -z \frac{d}{dz} \frac{1}{1 - z^{-1}} = \frac{z^{-1}}{(1 - z^{-1})^2}. \quad (4.34)$$

4.4.6. Пример нахождения обратного Z -преобразования

В качестве примера рассмотрим нахождение обратного Z -преобразования для

$$S(z) = \frac{z - b}{z(z - a)},$$

где $a \neq 0$ и $b \neq 0$ - действительные числа.

Рассмотрим метод с использованием теоремы о вычетах. Подынтегральную функцию обратного Z – преобразования перепишем в виде:

$$f(z) = S(z)z^{n-1} = \frac{z - b}{z(z - a)} z^{n-1} = \frac{z - b}{z - a} z^{n-2}.$$

Заметим, что нам придётся рассматривать отдельно три случая: $n = 0$, $n = 1$ и $n > 1$, поскольку в этих случаях количество полюсов $f(z)$ их кратность различны.

При $n = 0$ функция $f(z)$ имеет два полюса $z_1 = a$ (кратности 1) и $z_2 = 0$ (кратности 2) им соответствуют вычеты:

$$\begin{aligned} \operatorname{res}_{z_1=a} \left[\frac{z - b}{z - a} z^{-2} \right] &= \frac{z - b}{z - a} z^{-2} \left(z - a \right) \Big|_{z=a} = \frac{a - b}{a^2}, \\ \operatorname{res}_{z_2=0} \left[\frac{z - b}{z - a} z^{-2} \right] &= \frac{d}{dz} \frac{z - b}{z - a} z^{-2} \Big|_{z=0} = \end{aligned}$$

$$= \frac{(z-a) - (z-b)}{(z-a)^2} \Big|_{z=0} = -\frac{a-b}{a^2}.$$

Оригинал в нуле $s[0] = \frac{a-b}{a^2} - \frac{a-b}{a^2} = 0.$

При $n = 1$ функция $f(z)$ имеет два полюса $z_1 = a$ (кратности 1) и $z_2 = 0$ (кратности 1) им соответствуют вычеты:

$$\begin{aligned} \operatorname{res}_{z_1=a} \left[\frac{z-b}{z-a} z^{-1} \right] &= \frac{z-b}{z-a} z^{-1} (z-a) \Big|_{z=a} = \frac{a-b}{a}, \\ \operatorname{res}_{z_2=0} \left[\frac{z-b}{z-a} z^{-1} \right] &= \frac{z-b}{z-a} z^{-1} \Big|_{z=0} = \frac{b}{a}. \end{aligned}$$

Оригинал $s[1] = \frac{a-b}{a} + \frac{b}{a} = 1.$

При $n > 1$ функция $f(z)$ имеет один полюс $z_1 = a$ (кратности 1) ему соответствует вычет:

$$\operatorname{res}_{z_1=a} \left[\frac{z-b}{z-a} z^{n-2} \right] = \frac{z-b}{z-a} z^{n-2} (z-a) \Big|_{z=a} = (a-b)a^{n-2}.$$

Оригинал $s[n] = (a-b)a^{n-2}.$

Полное выражение для оригинала, охватывающее все рассмотренные частные случаи имеет вид:

$$s[n] = \delta[n] + \sigma[n-2](a-b)a^{n-2}.$$

Рассмотрим метод обращения Z-преобразования, основанный на разложении изображения на простые дроби. Заданную функцию $S(z)$ преобразуем следующим образом:

$$S(z) = \frac{z-b}{z(z-a)} = \frac{1}{(z-a)} - \frac{b}{z(z-a)} = \frac{z^{-1}}{1-az^{-1}} - \frac{z^{-2}b}{1-az^{-1}}.$$

С учётом результата (4.25), свойств линейности (4.6) и запаздывания (4.7), получим:

$$\begin{aligned} Z^{-1} \left\{ \frac{z^{-1}}{1-az^{-1}} - \frac{z^{-2}b}{1-az^{-1}} \right\} &= Z^{-1} \left\{ \frac{z^{-1}}{1-az^{-1}} \right\} - Z^{-1} \left\{ \frac{z^{-2}b}{1-az^{-1}} \right\} = \\ &= \sigma[n-1]a^{n-1} - \sigma[n-2]ba^{n-2} = \delta[n] + \sigma[n-2](a^{n-1} - ba^{n-2}) = \\ &= \delta[n] + \sigma[n-2](a-b)a^{n-2}. \end{aligned}$$

4.4.7. Применение Z – преобразования для разрешения линейных рекуррентно заданных последовательностей

Линейная рекуррентно заданная последовательность описывается заданием выражения, которое определяет её члены как линейную комбинацию предыдущих, и начальных условий:

$$s[n] = \sum_{k=1}^N a_k s[n-k], \quad n > N-1, \quad (4.35)$$

$$s[0] = s_0, s[1] = s_1, \dots, s[N-1] = s_{N-1},$$

где a_k - коэффициенты линейной комбинации, $N \geq 1$ - порядок последовательности.

Доопределяя $s[n < 0] = 0$, эти выражения можно собрать в одно, не накладывая никаких ограничений на n :

$$s[n] = s_0 \delta[n] + (s_1 - s_0) \delta[n-1] + \dots \\ \dots + (s_{N-1} - \dots - s_1 - s_0) \delta[n - (N-1)] + \sum_{k=1}^N a_k s[n-k]. \quad (4.36)$$

Взяв Z – преобразование (4.36) получим:

$$S(z) = s_0 + (s_1 - s_0)z^{-1} + \dots \\ \dots + (s_{N-1} - \dots - s_1 - s_0)z^{-(N-1)} + \sum_{k=1}^N a_k S(z)z^{-k},$$

Откуда

$$S(z) = \frac{s_0 + (s_1 - s_0)z^{-1} + \dots + (s_{N-1} - \dots - s_1 - s_0)z^{-(N-1)}}{1 - \sum_{k=1}^N a_k z^{-k}}. \quad (4.37)$$

Обратное Z – преобразование (4.37) позволяет найти общую формулу члена линейной рекуррентно заданной последовательности в замкнутом виде.

В качестве примера рассмотрим последовательность Фибоначчи. В ней каждый следующий член является суммой двух предыдущих $s[n] = s[n-1] + s[n-2]$, с начальными условиями $s_0 = 0$, $s_1 = 1$. В этом случае $a_1 = a_2 = 1$, $N = 2$ и (4.35) даёт

$$S(z) = \frac{s_0 + (s_1 - s_0)z^{-1}}{1 - a_1 z^{-1} - a_2 z^{-2}} = \frac{z^{-1}}{1 - z^{-1} - z^{-2}} =$$

$$= \frac{z}{z^2 - z - 1} = \frac{z}{(z - z_1)(z - z_2)},$$

где $z_{1,2} = \frac{1 \pm \sqrt{5}}{2}$.

Выполним обратное Z-преобразование

$$\begin{aligned} s[n > 0] &= Z^{-1} \left\{ \frac{z}{(z - z_1)(z - z_2)} \right\} = \operatorname{res}_{z=z_1} \frac{zz^{n-1}}{(z - z_1)(z - z_2)} + \\ &+ \operatorname{res}_{z=z_2} \frac{zz^{n-1}}{(z - z_1)(z - z_2)} = \frac{z^n \cancel{(z - z_1)}}{\cancel{(z - z_1)}(z - z_2)} \Big|_{z=z_1} + \frac{z^n \cancel{(z - z_2)}}{(z - z_1)\cancel{(z - z_2)}} \Big|_{z=z_2} = \\ &= \frac{z_1^n}{z_1 - z_2} + \frac{z_2^n}{z_2 - z_1} = \frac{z_1^n - z_2^n}{z_1 - z_2}. \end{aligned}$$